

# MÉTODOS NUMÉRICOS EM EQUAÇÕES DIFERENCIAIS

---

## Problemas Parabólicos

---

### **Autores:**

Bruno da Freiria Mischiati Borges (12557682)  
Gabriel Penido de Oliveira (12558770)

[brunofborges@usp.br](mailto:brunofborges@usp.br)  
[gabrielpenido@usp.br](mailto:gabrielpenido@usp.br)

**2023 – 1º Semestre**

---

## Sumário

|          |   |           |
|----------|---|-----------|
| <b>1</b> | <b>Objetivo</b>   | <b>2</b>  |
| <b>2</b> | <b>Discretização dos métodos</b>                          | <b>2</b>  |
| <b>3</b> | <b>Gráficos da solução exata e das soluções numéricas</b> | <b>3</b>  |
| <b>4</b> | <b>Gráficos de Ordem de Convergência Temporal</b>         | <b>8</b>  |
| 4.1      | Gráficos do caso A . . . . .                              | 8         |
| 4.2      | Gráficos do caso B . . . . .                              | 10        |
| <b>5</b> | <b>Tabela Comparativa</b>                                 | <b>13</b> |
| <b>6</b> | <b>Conclusão</b>  | <b>14</b> |

---

## 1 Objetivo

Este relatório tem como objetivo apresentar a resolução numérica de um problema que envolve a equação do calor unidimensional. A equação governante é dada por:

$$u_t - u_{xx} = f(t); 0 < x < 1 \quad (1)$$

com condições de fronteira  $u(0, t) = u(1, t) = 0$ , para  $t > 0$ , e uma condição inicial específica:

$$u(x, 0) = \sin(\pi x) + x(1 - x) \quad (2)$$

A solução exata para este problema é conhecida e é dada por:

$$u(x, t) = e^{-\pi^2 t} \sin(\pi x) + x(1 - x). \quad (3)$$

Neste relatório, utilizaremos dois métodos numéricos para resolver a equação do calor: o Método Explícito e o Método de Crank-Nicolson. Faremos uma comparação entre as soluções numéricas obtidas e a solução exata para diferentes valores de tempo e posição.

Além disso, analisaremos o comportamento das soluções, traçando gráficos que mostram a evolução temporal da solução numérica e da solução exata. Também calcularemos os erros relativos das aproximações em relação à solução exata.

Será realizada uma verificação da ordem de convergência para ambos os métodos, analisando a dependência do erro em relação aos espaçamentos espaciais e temporais. Comentaremos os resultados obtidos e faremos observações sobre a eficiência e precisão de cada método.

## 2 Discretização dos métodos

Seja  $U_j^n$  o valor aproximado de  $u(x_j, t_n)$  no ponto  $(x_j = jh, t_n = nk)$ , sendo  $k$  o espaçamento de discretização do tempo e  $h$  o espaçamento de discretização do espaço (que é igual a 0,05 para o problema tratado). Agora, considere a equação do calor  $u_t = u_{xx} + f(t)$ , sua discretização pelo método explícito é dada por:

$$U_j^{n+1} = U_j^n + \frac{k}{h^2}(U_{j-1}^n - 2U_j^n + U_{j+1}^n) + f(t) \quad (4)$$

e sua discretização pelo método de Crank-Nicolson é a seguinte:

$$U_j^{n+1} = U_j^n + \frac{k}{2h^2}(U_{j-1}^n - 2U_j^n + U_{j+1}^n + U_{j-1}^{n+1} - 2U_j^{n+1} + U_{j+1}^{n+1}) + f(t) \quad (5)$$

As condições de contorno e a condição inicial fornecem:

$$U_0^n = U_m^n = 0 \quad (6)$$

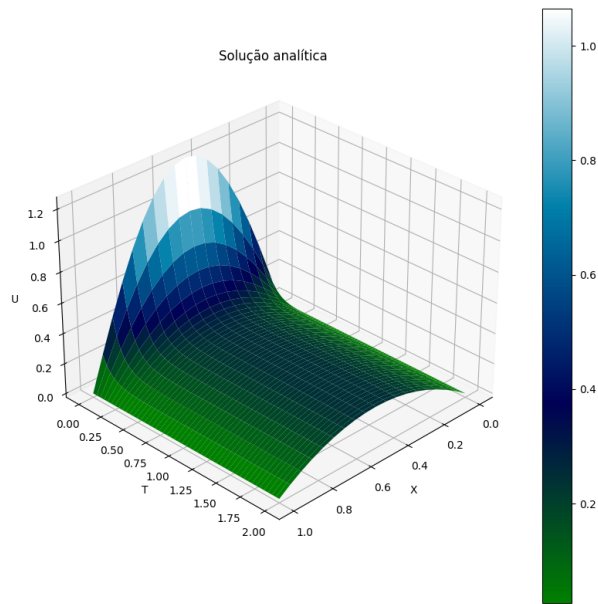
$$U_j^0 = \sin(\pi j) + j(1 - j) \quad (7)$$

para  $j$  no intervalo  $(0, m)$  e  $m$  dado por  $m = \frac{1}{h} - 1$ .

---

### 3 Gráficos da solução exata e das soluções numéricas

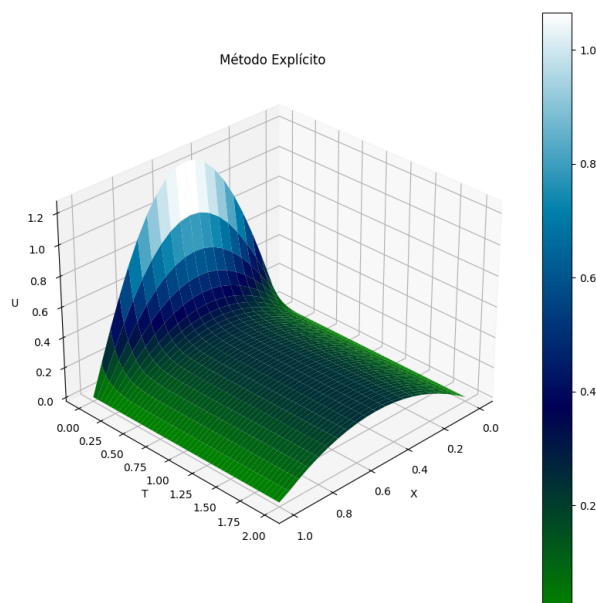
O gráfico obtido para a solução exata  $u(x, t) = e^{-\pi^2 t} \sin(\pi x) + x(1-x)$  no domínio  $(0, 1) \times [0, 2]$  é dado por:



**Figura 1:** Gráfico da solução de referência

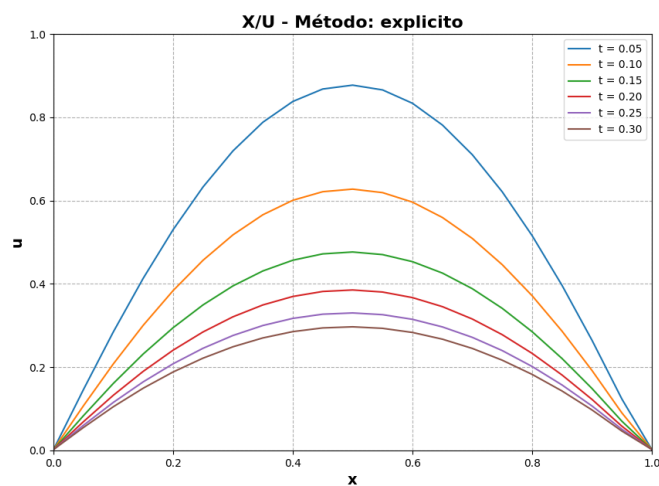
Para as soluções numéricas, foram determinados dois tipos de solução para cada método de discretização. O primeiro tipo corresponde às soluções numéricas obtidas com valor de  $k$  igual a  $\frac{5}{11}h^2$ . O segundo tipo corresponde ao valor de  $k$  igual a  $\frac{5}{9}h^2$ .

O gráfico obtido para o método explícito com valor de  $k$  igual a  $\frac{5}{11}h^2$  foi o seguinte:



**Figura 2:** Gráfico do método explícito (caso A)

As soluções numéricas com relação a  $x$  para vários valores de  $t$  (0.05, 0.1, 0.15, 0.2, 0.25, 0.3) foram:

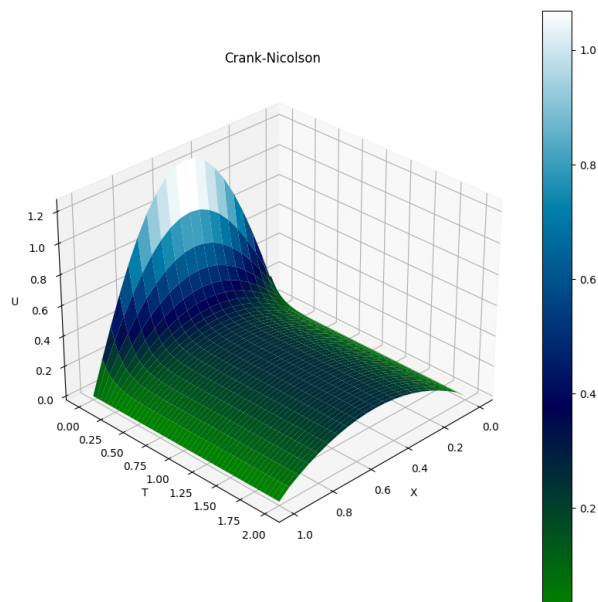


**Figura 3:** Gráfico de comparação do método explícito (caso A)

Por outro lado, o gráfico obtido para o método de Crank-Nicolson com valor de  $k$  igual a

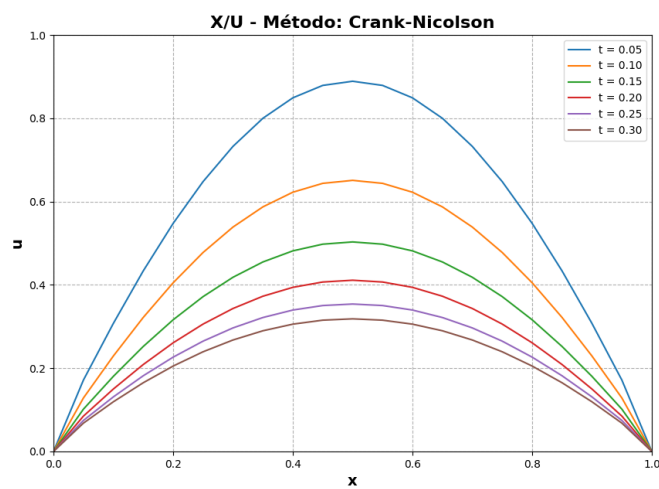
---

$\frac{5}{11}h^2$  foi o seguinte:



**Figura 4:** Gráfico do método de Crank-Nicolson (caso A)

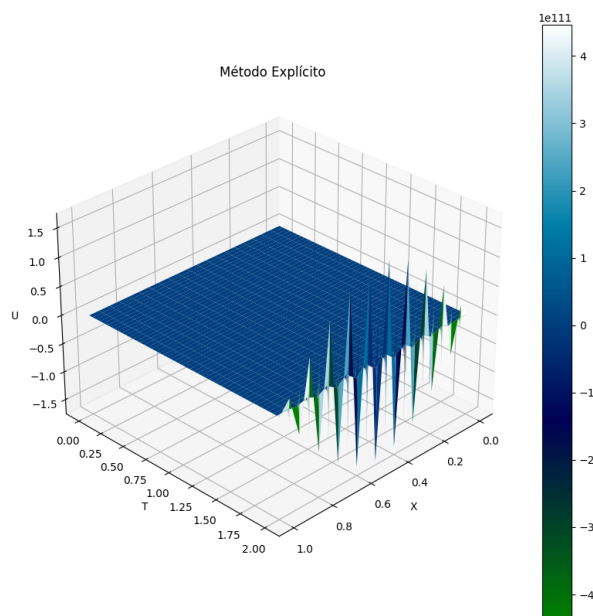
As soluções numéricas com relação a x para vários valores de t (0.05, 0.1, 0.15, 0.2, 0.25, 0.3) foram:



**Figura 5:** Gráfico de comparação do método de Crank-Nicolson (caso A)

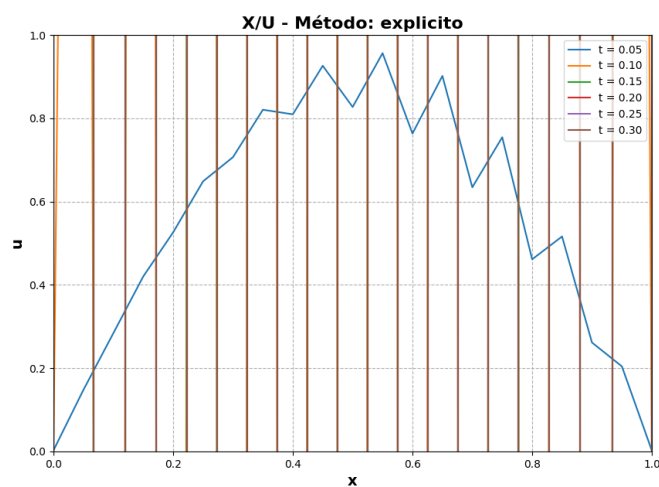
---

O gráfico obtido para o método explícito com valor de  $k$  igual a  $\frac{5}{9}h^2$  foi o seguinte:



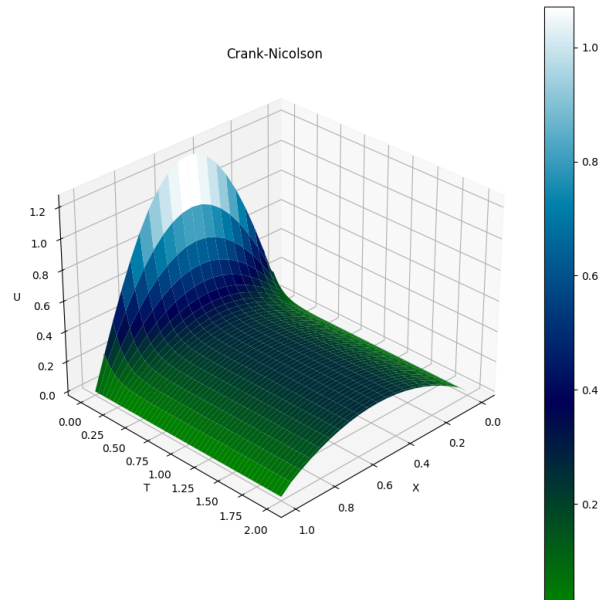
**Figura 6:** Gráfico do método explícito (caso B)

As soluções numéricas com relação a  $x$  para vários valores de  $t$  (0.05, 0.1, 0.15, 0.2, 0.25, 0.3) foram:



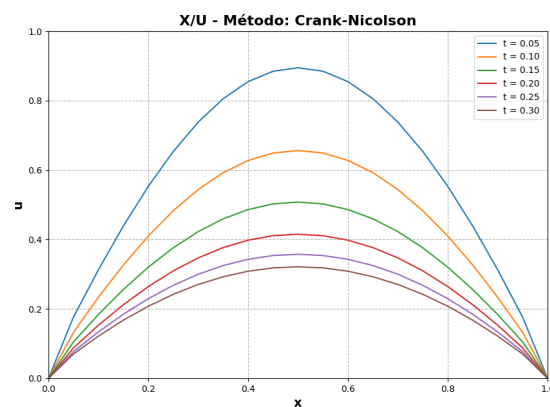
**Figura 7:** Gráfico de comparação do método explícito (caso B)

Por outro lado, o gráfico obtido para o método de Crank-Nicolson com valor de  $k$  igual a  $\frac{5}{9}h^2$  foi o seguinte:



**Figura 8:** Gráfico do método de Crank-Nicolson (caso B)

As soluções numéricas com relação a  $x$  para vários valores de  $t$  (0.05, 0.1, 0.15, 0.2, 0.25, 0.3) foram:



**Figura 9:** Gráfico de comparação do método de Crank-Nicolson (caso B)



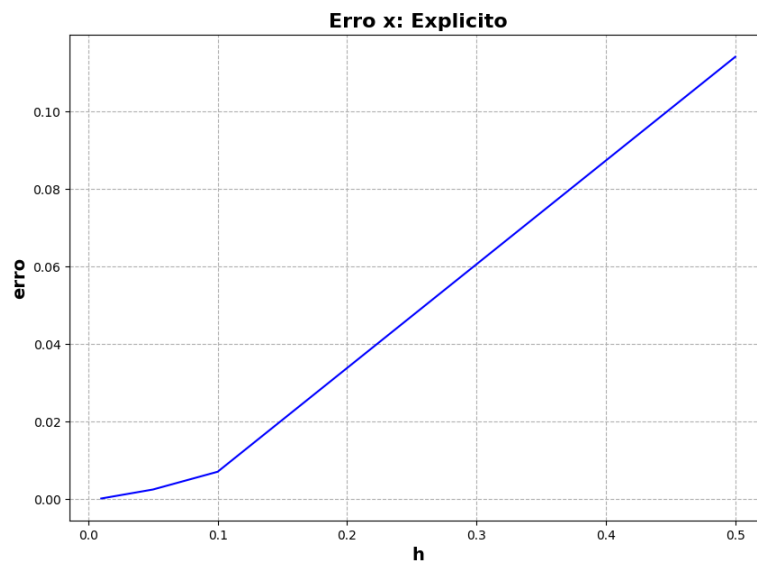
---

Nota-se que o método de Crank-Nicolson aproxima muito bem a solução analítica, tanto para o caso A quanto para o caso B. Isso ocorre porque o método em questão é incondicionalmente estável. Por outro lado, o método explícito aproxima muito bem a solução analítica para o caso A, mas isso não ocorre para o caso B. Isso ocorre porque o método explícito é condicionalmente estável (ele deve cumprir a condição  $\frac{k}{h^2} \geq \frac{1}{2}$  - que não ocorre para o caso B).

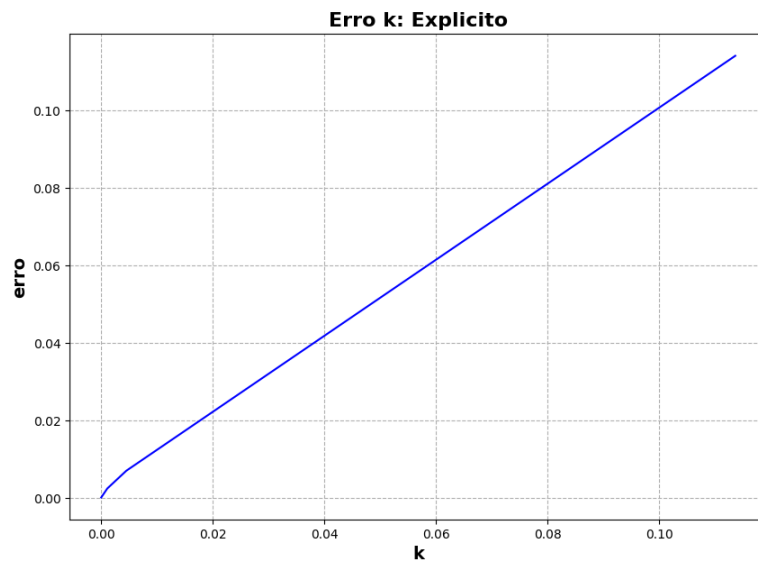
## 4 Gráficos de Ordem de Convergência Temporal

### 4.1 Gráficos do caso A

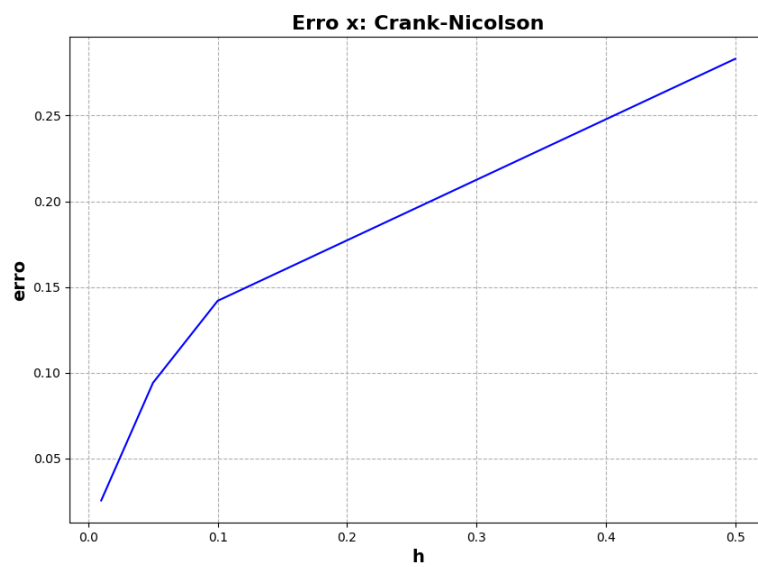
Os gráficos de convergência do erro de aproximação de cada método com relação aos valores de  $k$  e  $h$ , para o caso A, foram os seguintes:



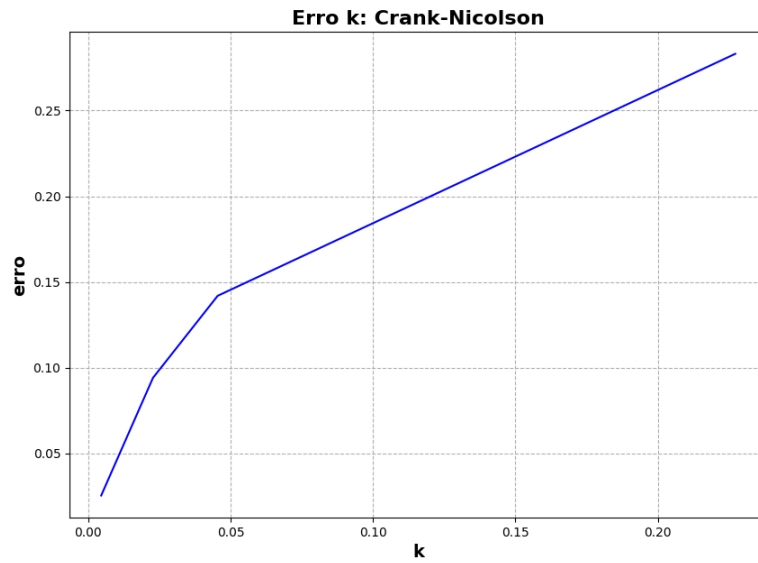
**Figura 10:** Método Explícito: gráfico de convergência do erro para os valores de  $h$  (caso A)



**Figura 11:** Método Explícito: gráfico de convergência do erro para os valores de  $k$  (caso A)



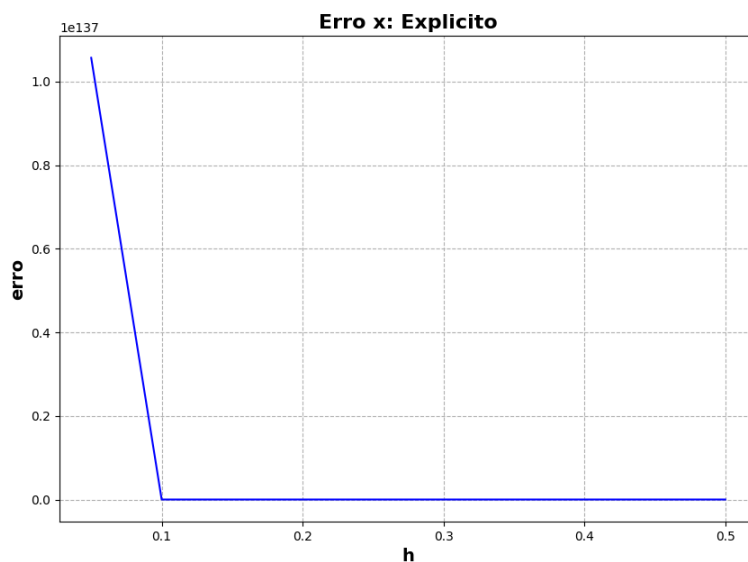
**Figura 12:** Método de Crank-Nicolson: gráfico de convergência do erro para os valores de  $h$  (caso A)



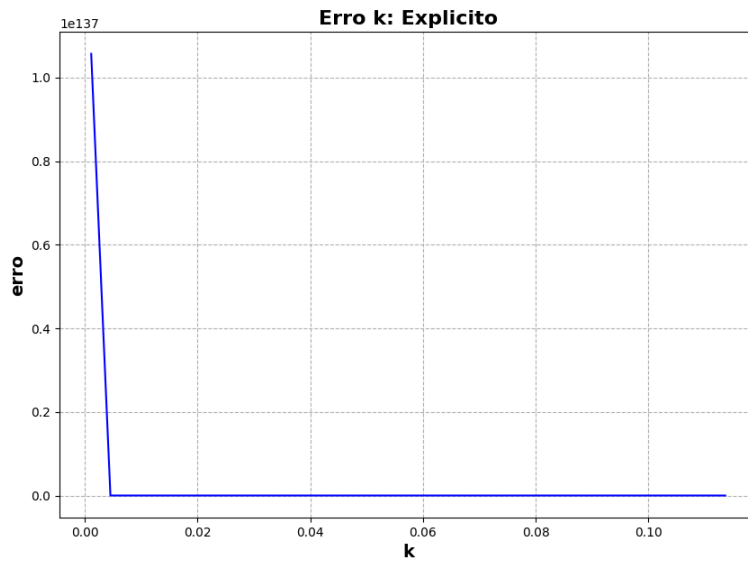
**Figura 13:** Método de Crank-Nicolson: gráfico de convergência do erro para os valores de  $k$  (caso A)

## 4.2 Gráficos do caso B

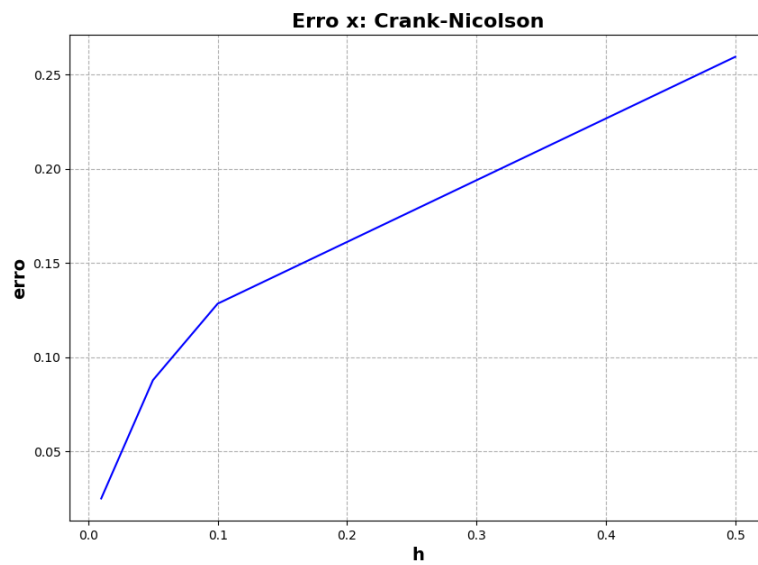
Os gráficos de convergência do erro de aproximação de cada método com relação aos valores de  $k$  e  $h$ , para o caso B, foram os seguintes:



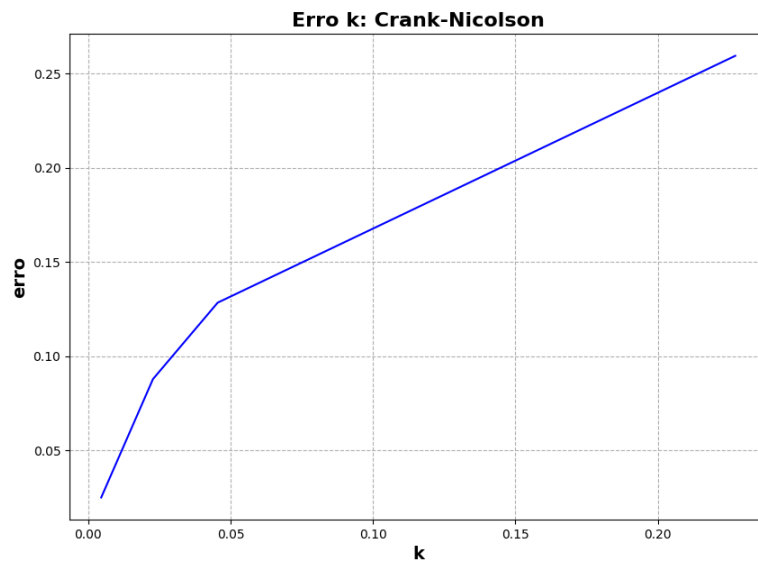
**Figura 14:** Método Explícito: gráfico de convergência do erro para os valores de  $h$  (caso B)



**Figura 15:** Método Explícito: gráfico de convergência do erro para os valores de  $k$  (caso B)



**Figura 16:** Método de Crank-Nicolson: gráfico de convergência do erro para os valores de  $h$  (caso B)



**Figura 17:** Método de Crank-Nicolson: gráfico de convergência do erro para os valores de  $k$  (caso B)

O método de Crank-Nicolson é incondicionalmente estável, consequentemente, seus gráficos de convergência do erro não variam do caso A para o caso B. Por outro lado, o método explícito é condicionalmente estável, o que é evidenciado pelas diferenças entre os gráficos de convergência do erro dos casos A e B.

---

## 5 Tabela Comparativa

Considerando três valores para  $k$ ,  $x = 0,5$  e  $t = 0,2$  obtemos uma tabela comparativa dos valores das soluções obtidas para cada método implementado. Na tabela, também foram apontados os erros relativos de aproximação com relação a solução exata:

**Tabela 1:** Tabela Comparativa

| k     | Método Explícito | Erro de aproximação | Método de Crank-Nicolson | Erro de aproximação |
|-------|------------------|---------------------|--------------------------|---------------------|
| 0.1   | 0.250227         | 0.709207            | 0.837693                 | 0.0265026           |
| 0.05  | 0.316353         | 0.632361            | 0.816889                 | 0.0506788           |
| 0.025 | 0.354054         | 0.588547            | 0.813741                 | 0.0543374           |

Pela tabela, notamos que o método de Crank-Nicolson apresenta menor erro de aproximação quando comparado com o método explícito, fato que se justifica pela estabilidade incondicional do método. Nota-se que, para todos os valores de  $k$  escolhidos a condição de estabilidade do método explícito não é garantida, acarretando piores aproximações. Um contra-exemplo, onde a condição de estabilidade é garantida, ocorre para o valor de  $k$  do caso A. Neste caso, o método explícito aproxima muito bem a solução analítica.

---

## 6 Conclusão

A partir dos resultados apresentados, notamos que o método de Crank-Nicolson é o que melhor se aproxima dos resultados da solução analítica. Isso pode ser justificado pelo fato do método ser incondicionalmente estável. Por outro lado, vale notar que o método explícito também se aproxima dos resultados da solução analítica, porém, as condição de estabilidade  $\frac{k}{h^2} \geq \frac{1}{2}$  deve ser obedecida.

---

## Referências

- [1] José A. Culminato. Messias M. Junior. *Discretização de Equações Diferenciais Parciais*. SBM, 2013.

[1]